



---

# Automatisation de la cryptanalyse des cryptosystèmes classiques à l'aide d'algorithmes modernes

---

LU2IN013

Jules Panon Desbassayns de Richemont  
Léa Cohen-Solal  
Zein Sakkour  
*dirigé par Valérie Ménéssier-Morain*

15 juillet 2022

# Table des matières

<b>1</b>	<b>Introduction</b>	<b>2</b>
1.1	Éléments historiques . . . . .	2
1.2	Objectifs . . . . .	4
<b>2</b>	<b>Développement de méta heuristiques contre les chiffrements par substitution</b>	<b>5</b>
2.1	Algorithme de hill-climbing . . . . .	6
2.1.1	Idée de la démarche . . . . .	6
2.1.2	Définition de l'algorithme . . . . .	7
2.2	Fonctions fitness . . . . .	9
2.2.1	Fitness function : N-gramme . . . . .	9
2.2.2	Fonction fitness : Relations de Pearson . . . . .	10
2.3	Automatisation . . . . .	11
2.3.1	Applications au hill-climbing et résultats . . . . .	11
2.3.2	Optimisation des paramètres et statistiques . . . . .	14
2.3.3	N-gramme optimales . . . . .	17
2.3.4	Combinaisons de n-gramme . . . . .	18
2.4	Conclusion . . . . .	21
<b>3</b>	<b>Annexe : tableaux de statistiques</b>	<b>22</b>
3.1	Statistiques pour un texte de 300 caractères . . . . .	22
3.2	Statistiques pour un texte de 1500 caractères . . . . .	27
3.3	Tableau de résultats des tests de combinaisons de fitness . . . . .	34
3.4	Statistiques tri-gramme puis contrôle avec Pearson . . . . .	35

# Chapitre 1

## Introduction

### 1.1 Éléments historiques

La **cryptologie** - étymologiquement *science du secret* - regroupe à la fois la **cryptographie** : l'écriture secrète, et la **cryptanalyse** : l'analyse de cette dernière. La cryptographie est à distinguer de la stéganographie *écriture étanche* qui consiste à dissimuler discrètement de l'information, dans le sens où la cryptographie ne cherche pas à dissimuler son contenu, mais bien à le rendre intelligible uniquement par qui-de-droit.

Les origines de l'utilisation de cryptographie pour protéger des données confidentielles remontent à l'Antiquité, et le plus vieux document chiffré actuellement connu date XVIème siècle avant notre ère [1]. Parmi les techniques cryptographiques notables qui nous sont parvenues nous pouvons par exemple citer la *scytale* chez les Spartiates, un bâton d'un certain diamètre autour duquel on enroulait une lanière de cuir pour y écrire un message, lequel ne serait déchiffrable qu'à l'aide d'un autre bâton de diamètre équivalent. Cette technique relève du chiffrement par **transposition**.

Vers le Vème siècle avant notre ère les Hébreux utilisent dans leurs textes religieux de nouvelles méthodes de chiffrement dits par **substitution**. La plus connue d'entre elles est sans nul doute *Atbash*, qui est une méthode de substitution inversée : la première lettre devient la dernière, la deuxième l'avant-dernière, et ainsi de suite.

D'autres méthodes de chiffrement, majoritairement par substitution, ont vu le jour à partir du II<sup>ème</sup> siècle avant J-C. Comme par exemple le *code de César*, qui est une méthode de chiffrement par **substitution mono-alphabétique** avec un décalage dans la clé, ou le *carré de Polybe*, premier procédé de chiffrement par substitution mono-alphabétique homophonique. La solution à de telles méthodes de chiffrement par substitution mono-alphabétique parallèlement étudiée en cryptanalyse - puisque les deux disciplines sont les deux revers de la même pièce - est l'analyse des fréquences des lettres du texte chiffré. Nous reviendrons dessus en détails prochainement.

Faisons un bond dans le temps pour citer de manière non exhaustive d'autres méthodes de chiffrement. Au XVI<sup>ème</sup> siècle, voient le jour des techniques de chiffrement par **substitution polyalphabétiques** comme le *Chiffre de Vigenère* [2] où une lettre de l'alphabet dans le texte en clair peut être chiffrée de plusieurs manières. Au XIX<sup>ème</sup> siècle est inventé le chiffrement de Playfair, qui est basée sur une méthode de substitution diagrammatique consistant à remplacer un couple de lettres adjacentes par un autre couple choisi dans une grille qui constitue la clé.

Entre 1968 et 1970, un sérial killer surnommé le *Tueur du Zodiaque* a assassiné au moins 5 personnes dans la région de San Francisco et est probablement responsable de nombreux autres non-confirmés. Sa particularité était de narguer les policiers en envoyant de lettres aux journaux locaux, lettres qui contenaient des messages codés. Plusieurs de ces messages n'ont encore jamais été décodés et l'affaire est toujours en cours plus de 50 ans après.



Figure 1 : Exemple de code du tueur du Zodiaque

En 2001, dans une prison de Californie un psychiatre intercepte sur un des prisonniers un message chiffré à l'aide de symboles particuliers, qui lui fait penser au tueur du Zodiaque. Il a alors l'idée de le soumettre au mathématicien Perci Diaconis, qui travaillait comme professeur de Statistiques à l'université de Stanford, juste à côté.

À l'aide de ses étudiants, Diaconis a mis au point une approche mathématique qui a permis de déchiffrer le message de la prison. Cette méthode s'appuie sur les chaînes de Markov. C'est dans la lignée de cette méthode, mais avec un angle d'approche informatique que s'inscrit notre travail de recherche.

## 1.2 Objectifs

Depuis l'apparition de la cryptographie, les méthodes de cryptanalyse se sont beaucoup diversifiées et ces différentes techniques donnent des résultats plus ou moins concluant. Il est alors intéressant d'étudier ces différentes méthodes, d'en donner leur algorithme, leurs points forts ainsi que leurs points faibles.

Ce projet a pour but dans un premier temps de présenter la méthode de hill-climbing, puis d'étudier l'efficacité de ses variantes sur différents cryptosystèmes, avant enfin de proposer une implémentation qui permet l'automatisation du processus.

## Chapitre 2

# Développement de métaheuristiques contre les chiffrements par substitution

Le chiffrement par substitution mono-alphabétique [3] est la méthode la plus classique pour chiffrer/déchiffrer un message. Il suffit simplement de changer un symbole du texte clair par un autre. L'échange d'un signe à l'ordre donne naissance à une clé. Cette clé correspond à chaque permutation de symbole de l'alphabet utilisé. Donnons l'exemple le plus connu, appelé *Code de César* [4]. Lors de ses batailles, l'empereur Jules César chiffrait ses messages en utilisant une clé bien particulière. il décalait chaque lettre de 3 rangs vers la droite. Le déchiffrement du message "erqmrxu" est "bonjour".

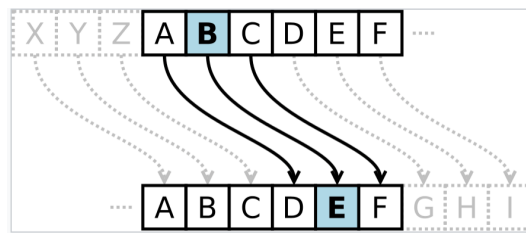


Figure 2 : Représentation du code de César

Plus généralement, le code de César est une méthode de chiffrement par substitution mono-alphabétique qui fonctionne par décalage de la première lettre de l'alphabet dans la clé de chiffrement. Ce code est cependant peu robuste car il n'offre que 25 possibilités de clé.

Les **méta heuristiques** ne sont pas des algorithmes propres à la cryptanalyse. Ce sont des algorithmes itératifs permettant de résoudre un problème que l'on ne peut pas résoudre de manière directe. Une méta heuristique permet en effet de rechercher la solution d'un problème en s'en approchant le plus possible. Nous considérerons que le problème a été résolu lorsqu'une approximation de la meilleure solution aura été trouvée. Il ne s'agit donc pas de trouver une seule solution exacte mais bien une approximation celle-ci. C'est ce principe que nous allons utiliser dans notre algorithme de hill-climbing.

## 2.1 Algorithme de hill-climbing

### 2.1.1 Idée de la démarche

Tout d'abord, rappelons que si on s'autorise à remplacer aléatoirement chaque lettre par une autre, le nombre de combinaisons possibles explose :  $26! = 4.032915.10^{*26}$ . Cela est impossible à tester efficacement avec nos ressources informatiques, et il nous est donc obligatoire de ruser un peu pour trouver une bonne solution assez rapidement. Pour attaquer ce problème, l'approche que nous étudierons repose sur les statistiques.

ERQMRXUOHFWHXUVDFKHTXHMxOHVWHVRXK  
DLWHXQHSDQRXLVVHPQWLPPHQVGDQVWR  
XWFHTXHWXHQUHSUHQGUDVGDQVWDYLN

*Figure 3 : Texte chiffré par substitution*

Par exemple, dans le texte chiffré ci-dessus il nous paraît instinctif de se dire que le caractère qui chiffre le *E*, et ceux qui chiffrent le *A*, le *I* et le *S* devraient être les plus fréquents. Cette idée est une première piste à l'algorithme de hill-climbing, mais il est trop simple et ne fournit que des résultats médiocres, même avec des très longs textes, qui ressemblent à la langue originale (dans l'exemple le français) mais ne veulent rien dire.

Pour obtenir une bonne cryptanalyse, nous nous intéressons à la ressemblance du texte à la langue d'origine. Pour cela, nous nous concentrons sur les enchaînements de lettres. Certains sont très probables, d'autres beaucoup moins, et cela nous permet d'évaluer si la suite semble correspondre à sa langue, ici à du français.

C'est l'idée du hill-climbing : associer à toute suite un score de plausibilité pour vérifier si elle ressemble bien à sa langue supposée.

### 2.1.2 Définition de l'algorithme

La méthode **hill-climbing**[5] (dite méthode d'escalade) est une méthode itérative locale qui vise à rechercher un optimum local. Elle prend trois objets : une configuration initiale, une fonction permettant de générer des configurations proches de la configuration initiale, et une dernière fonction **fonction fitness** capable d'évaluer la qualité de chaque configuration. La méthode de hill-climbing consiste ensuite à choisir la meilleure configuration voisine et répéter la solution jusqu'à ce qu'aucune ne soit (significativement) meilleure. On dit alors que nous avons trouvé un optimum local.

Concrètement, lorsque l'on s'intéresse à la cryptanalyse d'un texte chiffré par substitutions mono-alphabétiques, l'enjeu réside dans la découverte de la **clé** (configuration des lettres de l'alphabet) qui a été utilisée pour le chiffrement. Cette clé est assimilable à un vecteur à 26 coordonnées, et dont on va échanger au moins 2 coordonnées (lettres) à chaque itération de l'algorithme de hill-climbing, générant ainsi une clé potentielle. Si l'évaluation de cette clé potentielle est moins bonne que celle de la clé initiale, on procède à une autre substitution en partant de la clé initiale. Dans le cas contraire la clé potentielle devient la clé initiale et on recommence l'algorithme.



---

**Algorithm 1:** SOLVER(*puzzle*, *num\_trials*, *num\_swaps*, *scoringFunction*)

---

**input** : substitution cipher *puzzle*, parameters *num\_trials* and *num\_swaps* controlling the amount of computation, and scoring function *scoringFunction*

**output** : best decryption key found *best\_key* and its corresponding score *best\_score*, locally maximizing the scoring function

*best\_score*  $\leftarrow -\infty$

**for** *i*  $\leftarrow 1$  to *num\_trials* **do**

*key*  $\leftarrow$  random permutation of the alphabet

*best\_trial\_score*  $\leftarrow -\infty$

**for** *j*  $\leftarrow 1$  to *num\_swaps* **do**

*new\_key*  $\leftarrow$  *key* with two of its letters swapped randomly

*score*  $\leftarrow$  score *puzzle* using *scoringFunction* after decrypting it with *new\_key*

**if** *score* > *best\_trial\_score* **then**

*key*  $\leftarrow$  *new\_key*

*best\_trial\_score*  $\leftarrow$  *score*

**endif**

**end**

**if** *best\_trial\_score* > *best\_score* **then**

*best\_key*  $\leftarrow$  *key*

*best\_score*  $\leftarrow$  *best\_trial\_score*

**endif**

**end**

**return** {*best\_key*, *best\_score*}

---

Figure 4 : Pseudo-code de l'algorithme de hill climbing

On voit déjà se dessiner plusieurs problématiques : Quand doit-on s'arrêter ? Est-on sûrs d'avoir trouvé la bonne solution quand l'algorithme s'arrête ? Comment mesurer au mieux la qualité d'une configuration de clé ?

Avant de détailler le principe des fonction fitness, il est important de donner les différents outils que nous avons utilisés.

Les différentes fonctions que nous avons implémenté sont centrées sur un certain paramètre que l'on appellera *n*. Ce *n* est un chiffre pouvant varier entre 1 et 5 et qui représente le nombre de caractères, le **n-gramme**, utilisé comme référence pour notre évaluation. Utiliser une fonction fitness avec un *n* égal à 3 revient à évaluer un déchiffrement selon les fréquences des tri-gramme (enchaînements successifs de 3 lettres).

Pour mener à bien notre étude, nous avons majoritairement manipulé des statistiques de la distribution des n-gramme en anglais et en français, mais le programme peut tout-à-fait convenir pour toute autre langue.

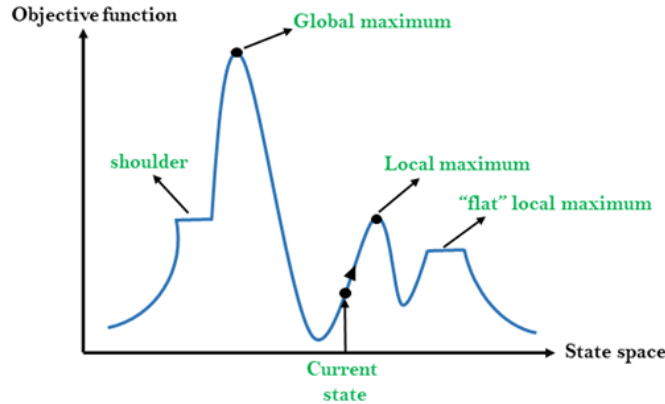


Figure 4 : Illustration de l'algorithme de hill climbing

## 2.2 Fonctions fitness

### 2.2.1 Fitness function : N-gramme

Les **fitness function** (que nous traduirons en français *fonction fitness*) nous permettent, dans le cadre de la cryptanalyse, d'évaluer le bon déchiffrement d'un texte[6]. Nous avons implémenté des fonctions fitness qui nous permettront d'évaluer la qualité d'une tentative de déchiffrement du texte chiffré par une clé précise, et ainsi d'évaluer implicitement la "pertinence" de cet algorithme de déchiffrement. Ces différentes fonctions fitness nous donneront un score, représentant le "score du déchiffrement" qui est environ proportionnel à la lisibilité du texte déchiffré. Cependant, nous verrons dans la suite que le score fitness n'est pas un indicateur suffisant de lisibilité.

Dans le cas de la fonction fitness n-gramme, nous allons tout d'abord fixer  $n$  égal à 2,3,4 ou 5. Si par exemple  $n=2$ , nous allons évaluer le déchiffrement du texte par rapport à des fréquences de bi-gramme. Une fréquence de bi-gramme correspond à la distribution d'un enchaînement donné de 2 lettres dans la langue. Par exemple les bi-gramme ER, IN, ON ont une fréquence bien plus importante en français que les bi-gramme PL, ZD ou TM.

Une fois ce  $n$  fixé, nous allons parcourir le texte déchiffré  $n$  lettres par  $n$  lettres et additionner les fréquences des différentes combinaisons de  $n$  lettres. Pour obtenir un score fitness intelligible et n'explosant pas sur des longs textes nous avons choisi de le calculer de manière logarithmique. Nous ajoutons la somme des probabilités des  $n$ -gramme du texte en logarithme 2.

$$Score\ fitness = \sum_i \log_2(p_i)$$

Figure 5 : formule du score de fitness  $n$ -gramme

Avant de juger le score obtenu, il est important de comparer celui-ci au score du texte clair, c'est à dire le score que l'on voudrait idéalement atteindre. C'est en comparant la différence entre les deux scores que l'on peut commencer à juger l'efficacité de l'algorithme de déchiffrement. Mais cela n'est pas suffisant et il est aussi important de compter le nombre de lettres correctes dans la clé retournée par l'algorithme.

```
dico = cipher.ngram(4,path_stats)
text=fichier.NETTOYER_lire_fichier("./text/textCLAIRE.txt")
textchiffre = cipher.encipher(text,cle_de_cryptage)

score1 = cipher.fitness1(text,dico)
score2 = cipher.fitness1(textchiffre,dico)
print("le score du texte clair est "+ str(score1))
print("le score du texte chiffré est "+ str(score2))

le score du texte clair est 16555.698525018357
le score du texte chiffré est 9578.804937977618
```

Figure 6 : Différence entre la fonction fitness appliquée au texte chiffré et au texte déchiffré

### 2.2.2 Fonction fitness : Relations de Pearson

L'étude des corrélations de Pearson[7] permet de modéliser la relation linéaire entre deux variables aléatoires continues  $X$  et  $Y$ . Cette corrélation est caractérisée par un coefficient de corrélation appelé **r de Pearson**. Plus ce coefficient se rapproche de 1, plus  $X$  et  $Y$  varient ensemble dans le même sens. Une corrélation parfaite des variables  $X$  et  $Y$  produit une densité jointe  $\rho_{X,Y} = 1$ .

Nous allons ici utiliser cette corrélation, où  $X$  représente la fréquence de chaque caractère dans le texte chiffré en cours de transformation,  $\bar{X}$  la moyenne de la variable aléatoire  $X$ ,  $Y$  la fréquence des caractères dans la langue de référence et  $\bar{Y}$  la moyenne de la variable aléatoire  $Y$ . On peut modéliser cette corrélation de Pearson par la formule suivante :

$$r = \frac{\sum_{i=1}^n (X_i - \bar{X})(Y_i - \bar{Y})}{\sqrt{\sum_{i=1}^n (X_i - \bar{X})^2} \sqrt{\sum_{i=1}^n (Y_i - \bar{Y})^2}}$$

*Figure 7 : formule du coefficient de corrélation de Pearson*

Notre deuxième fonction fitness nous permet donc de calculer le score fitness d'un déchiffrement grâce à l'étude du  $r$  retourné.

## 2.3 Automatisation

Nous avons choisi d'automatiser la cryptanalyse en Python3.

### 2.3.1 Applications au hill-climbing et résultats

#### Dictionnaires de fréquences

Pour pouvoir manipuler toutes ces fréquences de n-gramme, que ce soit pour fitness n-gramme ou pour fitness Pearson ( $n=1$ ), nous avons choisi d'implémenter des dictionnaires, car cette structure de données est plus efficace pour les opérations auxquelles nous aurons recours. Le dictionnaire des fréquences se présente ainsi :

- Le  $n$ , égal à 1,2,3,4 ou 5, est la valeur de la clé '-n' du dictionnaire.
- Chaque combinaison de  $n$  lettres représente une clé et sa fréquence représente sa valeur. Si  $n=1$  il n'y aura aucune confusion entre le '-n' représentant le nombre de lettres choisi et la clé 'n' du dictionnaire. Ce dictionnaire sera au centre de l'évaluation faite dans les différentes fonctions fitness.

Pour générer un dictionnaire de fréquences d'un texte nous avons implémenté la fonction

```
def lire_ngramme(nomfichier):
```

qui ouvre le fichier *nomfichier*, lit le premier caractère de la première ligne du fichier qui représentera le n et crée les fréquences de n-gramme en parcourant tout le texte.

Les statistiques desdits n-gramme ont été stockés dans un fichier *.txt* grâce à un script python *Creer-stats.py* qui va permettre d'organiser les fréquences pour avoir plus de facilités à y accéder. Ce sont ces statistiques qui nous permettent ensuite de créer les dictionnaires qui servent de référence statistique aux fonctions fitness. En particulier le cas n=1 correspond au dictionnaire utilisé par fitness Pearson, n=2 correspond à fitness bi-gramme, n=3 à fitness tri-gramme etc...

Nous nous retrouvons donc avec des fichiers de la forme suivante :

E 12.19	TH 116997844	MRK 15411018	WITH 7627991	EDTHE 2625961
T 8.93	HE 10809263	FOR 14686159	INTH 7261789	THEIR 2611585
A 8.46	IN 87674082	THA 14222073	ATTO 7184943	TIINA 2513553
O 7.45	ER 77154382	TH 14115952	OTHE 6980574	ORTHE 2485817
I 7.38	AN 69753179	INT 13656197	TTHE 6553056	FORTH 2437468
N 7.19	RE 68923680	ERE 13287155	OTHE 6478288	INGTO 2297407
S 6.47	ES 57878453	TIO 13285865	INGT 6461147	THECO 2244249
R 6.29	ON 56915252	TER 12769843	ETHE 6135216	CTION 2232603
H 5.35	ST 54018399	EST 11956466	SAND 5996785	WHICH 2855821
L 4.2	NT 80781884	ENS 11823017	STHE 5748611	THESE 2818527
D 4	EN 48991276	ATI 11227573	HERE 5638588	AFTER 1975584
C 3.2	AT 48274564	HAT 10908482	MENT 4968019	EOTH 1933749
U 2.76	ED 46647968	ATE 10712298	THEM 4911484	ABOUT 1859262
M 2.53	ND 46194386	ALL 10501105	RTHE 4862875	ERTHE 1832283
F 2.41	TO 46115188	ETH 10304110	THEP 4458634	IONAL 1819580
P 1.99	OR 45725191	HES 10189449	FROM 4361347	FIRST 1817922
G 1.97	EA 43329818	VER 10156140	THIS 4344688	WOULD 1816823
W 1.88	AR 42353262	HIS 10051039	TING 4291641	WITHT 1784716
Y 1.76	TE 42295813	OF 9434246	THEI 4217321	STAT 1762278
B 1.5	NG 38567365	FTN 9036651	ION 4045181	ITON 1659850
V 0.94	AL 38211584	STH 9024058	ANDT 4028364	INTER 1624257
K 0.66	IT 37938334	OTH 8869858	ONTH 3976144	FROMT 1610780
X 0.17	AS 37773878	RES 8835871	TOTH 3911094	ITHTH 1609991
J 0.13	IS 37349981	ONT 8757161	EDTO 3886447	THTHE 1607417
Q 0.1	HA 35971841	DTH 8745845	THEF 3873133	THEFI 1608741
Z 0.08	ET 32872552	ARE 8741156	THEY 3809433	
	SE 31532272			
	OU 31112284			
	OF 38548984			
	LE 38383262			

Figure 8 : Échantillons des bibliothèques de n-gramme que nous avons utilisé

Lors d'un déchiffrement, nous avons décidé de ne pas tenir compte des majuscules, minuscules, accents, signes de ponctuations et espaces. En effet ceux-ci augmenteraient encore le nombre de possibilités et ralentiraient ainsi le programme. De plus nous verrons que l'algorithme de hill climbing est assez efficace pour se contenter des 26 caractères de l'alphabet latin. Nous avons donc implémenté la fonction

```
def Nettoyer_lire_fichier(nomfichier)
```

qui supprime les ponctuations, espaces, accents, et met les caractères en majuscule (de 'A' à 'Z').

Instinctivement nous avons choisis de faire ces statistiques par rapport à la langue française. Le texte intégral de *Germinal*, qui nous a été fourni, a été dans un premier temps le support des statistiques utilisés dans notre étude. Au fil de nos tests nous nous sommes aperçus que le déchiffrement avec les tetra-gramme et penta-gramme donnait des résultats contre-intuitifs. Cette différence d'efficacité entre  $n=2$  ou  $3$  et  $n=4$  ou  $5$  s'expliquait par le fait que le texte *Germinal* n'est pas assez long pour être représentatif de la langue française en terme de fréquences des  $n$ -gramme quand  $n \leq 4$ .

Nous nous sommes donc tournés vers la langue anglaise pour la suite de notre étude, et nous sommes procurés en ligne des statistiques établies sur un corpus de textes plus conséquent[8].

### Hill-climbing

La fonction de Hill-climbing a pour but de tester en boucle un grand nombre de clés potentielles et d'évaluer à chaque tour le score de la clé potentielle à l'aide d'une certaine fonction fitness. Si celui-ci est meilleur que celui de la clé de référence, la boucle suivante prendra la clé essayée comme nouvelle clé de référence.

```
def hillClimbing ( fitness , texte , dictionnaire ,
                  NBITERGLOB, NBITERSTATIC, cle )
```

Paramètres : Nous passons en paramètre une fonction fitness, le texte chiffré, le dictionnaire associé à la fonction fitness, et une clé qui correspond à une combinaison des 26 lettres de l'alphabet. Cela nous laisse la possibilité, si besoin, de partir d'une clé particulière. Si la clé passée en paramètre est vide on génère aléatoirement une clé initiale.

Initialisation : Nous initialisons les compteurs d'itérations statiques *cmp* et globales *i* à 0, et nous les incrémenterons de 1 à chaque tour de boucle s'ils restent inférieurs respectivement à *NBITERSTATIC* et *NBITERGLOB*. Nous initialisons aussi deux variables pour stocker les scores associés aux clés potentielles des tours  $n-1$  et  $n$ . Le scoreParent est initialisé au score de la clé passée en paramètres, et correspond ensuite à celui de la clé  $n-1$ . Le scoreEnfant est initialisé à 0 et correspond au score de la clé  $n$ .

- Boucle : Tant que  $cmp < NBITERSTATIC$  et  $i < NBITERGLOB$  :
- Si le scoreEnfant est supérieur au scoreParent, scoreParent devient scoreEnfant, la clé Parent est remplacée par la clé Enfant. On comparera ensuite le score de la clé Enfant sur laquelle 2 lettres ont été substituées avec scoreEnfant.
  - Sinon on incrémente les compteurs d'itérations globales et locales de 1.

- Fin : La sortie de l'algorithme s'effectue si :
- Trop de tours ont été effectués sans changement significatif du score fitness à la hausse ; c'est le cas d'atteinte de maximum d'itérations locales.
  - L'algorithme fait trop de tours et atteint le maximum d'itérations globales

Compte-tenu de l'aspect heuristique de la démarche de hill-climbing, il était capital de déterminer quels paramètres fournissent les résultats les plus performants. Ainsi, la prochaine partie du projet est consacrée à la variation de variables qui représentent le nombre d'itérations, ainsi qu'à la comparaison des différentes fonctions fitness.

### 2.3.2 Optimisation des paramètres et statistiques

Après avoir lancé l'algorithme quelques fois pour nous familiariser, nous commençons à remarquer des comportements différents selon les paramètres utilisés. Nous avons alors émis l'hypothèse que l'efficacité du déchiffrement varie selon la fonction fitness choisie et la longueur du texte. Pour confirmer cette hypothèse, nous avons implémenté un script python qui nous permet de générer des batteries de test sur la fonction hill-climbing. Nous avons fait tourner en continu ces tests pendant plusieurs jours sur les ordinateurs de la PPTI. C'est la commande Unix *nohup* qui nous a permis de maintenir le processus lancé ininterrompu.

La démarche propre à ces tests est empirique. Nous rappelons ainsi que cette analyse a pour but de fournir rapidement des résultats acceptables, mais que ces résultats peuvent ne pas être optimaux. Dans un premier temps nous faisons varier le maximum d'itérations globales autorisé *NBITERGLOB* entre 1000 et 10000 avec un pas de 500, puis pour chaque valeur de *NBITERGLOB* nous faisons varier le maximum d'itérations

locales *NBITERSTATIC* de 500 à 4000 avec un pas de 250 et en s'assurant que  $NBITERSTATIC < NBITERGLOB$ .

Pour chaque couple (*NBITERGLOB* , *NBITERSTATIC*) nous avons effectué 20 tests, de sorte à avoir des statistiques moyennes qui soient suffisamment représentatives. Pour chacun de ces tests nous avons relevé le nombre de caractères corrects de la clé par rapport à la clé de chiffrement que nous connaissons, ainsi que le score fitness et le temps d'exécution de l'algorithme de hill climbing. À partir de ces statistiques nous avons calculé des moyennes pour chaque couple (*NBITERGLOB* , *NBITERSTATIC*). Ce sont les colonnes *Clé* , *Score*, *Temps* du tableau en annexe. Enfin nous avons appliqué cette logique de test à chaque fonction fitness : Pearson, bi-gramme, ..., penta-gramme. Les statistiques obtenues sont résumées dans le tableau donné en Annexe I.

### Textes courts

Nos tests sur des textes courts (200 à 500 caractères) nous ont permis de tirer les conclusions suivantes :

- On remarque que le déchiffrement avec fitness tri-gramme donne les meilleurs résultats.
- Les scores commencent à devenir bons lorsque le nombre d'itérations statiques dépasse les 1250. En revanche lorsque *NBITERSTATIC* dépasse 2000 les résultats n'augmentent plus et le temps d'exécution devient trop long.
- Il est idéal de garder *NBITERGLOB* entre 2000 et 4000, car en deçà de 2000 itérations globales les résultats moyens sont insatisfaisants. Augmenter à plus de 5000 le nombre d'itérations globales n'a pas d'intérêt non plus car la sortie de l'algorithme sera provoquée par l'atteinte de *NBITERSTATIC*.

En regardant de plus près l'exécution de la fonction hill-climbing nous remarquons que le score augmente de manière logarithmique par rapport au temps :



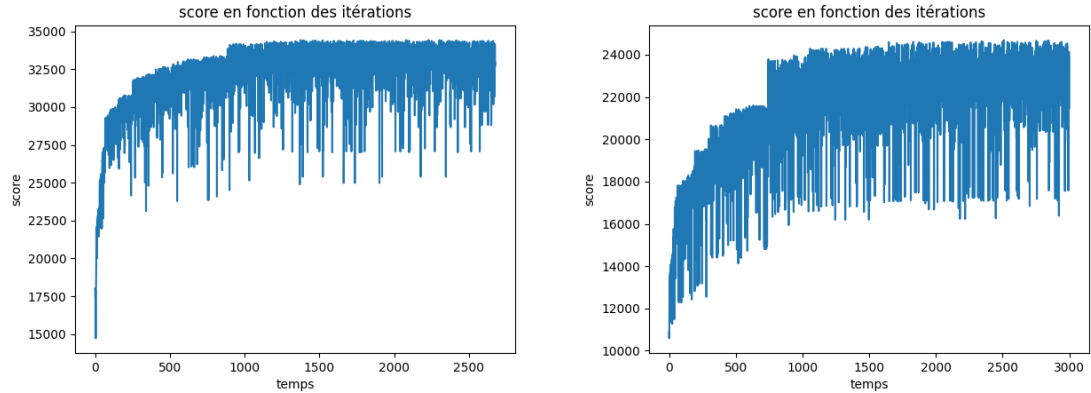


Figure 9 : Évolution du score des bi-gramme et tri-gramme (respectivement) en fonction des itérations

A partir d'environ 1500 itérations globales pour les bi-gramme et 1000 pour les tri-gramme, le score augmente très lentement. Cela signifie que dans un plan topologique, l'algorithme de hill-climbing nous fait rapidement rentrer sur un sommet. À ce moment là, le score de déchiffrement augmente très vite, mais "l'escalade du sommet" (littéralement *hill-climbing*) est de plus en plus lente. Cela vient appuyer la conclusion faite qu'il ne sert à rien d'augmenter *NBITERGLOB* passé un certain point car cela ne fait plus augmenter significativement le score. Ce sera quasi-systématiquement l'atteinte de *NBITERSTATIC* qui provoquera la fin du programme. Le choix du nombre d'itérations statiques est donc plus "important" que celui du nombre d'itérations globales.

### Textes longs

Pour des textes plus longs (environ 1500 caractères) nous tirons les conclusions suivantes :

- On remarque que le déchiffrement avec les tétra-gramme donne les meilleurs résultats.
- Les scores sont optimaux lorsque *NBITERSTATIC* est compris entre 2000 et 3000.
- Là aussi c'est quasi-systématiquement l'atteinte du maximum d'itérations locales qui provoque la fin de l'algorithme, donc *NBITERGLOB* peut être fixé entre 3500 et 6000.

### 2.3.3 N-gramme optimales

Grâce aux jeux de tests accumulés sur différents textes, il nous est possible de décrire le comportement typique des différentes fonctions fitness. Il faut tout de même garder en tête que le hill climbing est une marche aléatoire, et que cela implique par définition que les résultats varient d'un test à l'autre même avec des conditions identiques.

- La fonction fitness n-gramme avec  $n = 2$  est très rapide et donne des résultats satisfaisants pour des textes courts. Elle manque cependant de précision sur des textes de plus de 500 caractères et produit parfois des déchiffrements peu lisibles.
- La fonction fitness n-gramme avec  $n = 3$  est rapide et très performante, que ce soit sur des textes courts ou longs et réussit généralement à déchiffrer l'ensemble du texte de façon lisible.
- La fonction fitness n-gramme avec  $n = 4$  est assez efficace pour des textes courts, et très efficace sur des longs textes. Au dessus de 1000 caractères on peut s'attendre à au moins 24 lettres correctes à chaque lancer, mais en raison de la taille du dictionnaire le temps d'exécution de fitness tetra-gramme est assez important (environ 3s pour 300 caractères et environ 12s pour 1500).
- La fonction fitness n-gramme avec  $n = 5$  n'est pas vraiment efficace sur des textes courts, où elle trouve rarement plus de 20 lettres de la clé de chiffrement. Pour les textes plus longs elle fournit des résultats convenables mais avec un temps d'exécution beaucoup trop long (jusqu'à +20s). La complexité temporelle de penta-gramme fait qu'on lui préférera tetra-gramme.
- La fonction fitness Pearson nous a fourni des résultats décevants. Elle ne fait que mesurer le coefficient de corrélation entre la fréquence de caractères du texte chiffré en cours de transformation et celle de la langue. Nous nous retrouvons ainsi parfois avec des textes qui "ressemblent" à de l'anglais (ou du français) mais qui sont totalement illisibles. Cela se produit quand plusieurs lettres de fréquences similaires sont interchangées par la marche aléatoire. Pearson peine à les remettre à la bonne place faute d'outil de lien entre les caractères. En conclusion, la fonction fitness Pearson n'est pas bien adaptée au hill-climbing, mais elle permet de donner un indice de "clarté" de la langue intéressant pour mesurer la lisibilité d'un déchiffrement. Plus ce déchiffrement ressemblera à la langue d'origine, plus le coefficient de Pearson sera proche de 1.

TABLE 2.1 – PEARSON

Ces quelques résultats nous montrent que le  $r$  de Pearson est proportionnel à la justesse de la clé dans une certaine mesure, mais que des textes complètement faux peuvent aussi avoir un  $r$  très élevé. Un score de fitness Pearson aussi proche de 1 devrait pourtant correspondre à la langue d'origine.

clé	score obtenu
<i>5/26</i>	<i>0.2918653</i>
<i>8/26</i>	<i>0.395423</i>
<i>9/26</i>	<i>0.35289</i>
<i>11/26</i>	<i>0.625217</i>
<i>14/26</i>	<i>0.7918653</i>
<b>2/26</b>	<b>0.995289</b>

### 2.3.4 Combinaisons de n-gramme

La fonction hill-climbing permet d'effectuer un grand nombre d'itérations jusqu'à ce que le score atteigne un extremum. Cependant cet extremum n'est pas forcément l'extremum global, qui correspond au texte clair. La tentative de déchiffrement qui se bloque dans un extremum local peut d'ailleurs ne même pas être lisible.

Notre algorithme de hill climbing est une marche aléatoire qui va effectuer un brassage de clé à chaque tour de boucle en échangeant deux caractères. Pour essayer de sortir des extrema locaux dans lesquels aurait pu s'aventurer notre fonction, il serait nécessaire de renforcer ce brassage aléatoire. Forts de ce constat, nous nous sommes mis en tête de combiner des fonctions fitness dans le même appel à notre fonction de cryptanalyse. Notre hypothèse était que cela permettrait de débloquent la fonction de hill climbing bloquée dans un mauvais extremum grâce à une deuxième fonction fitness. Ainsi nous obtiendrons un meilleur score final, tout en gardant un temps d'exécution raisonnable car chaque appel à hill climbing se ferait en moins d'itérations.

Nous avons donc implémenté un script en python permettant de combiner 2 fonction fitness à la suite. En théorie, l'idée était d'appeler dans un premier temps l'algorithme de hill climbing avec une fitness function rapide ( $n = 2$  ou  $3$ ) qui ferait un travail de gros sur le texte chiffré, et retournerait une clé intermédiaire. Cette clé serait ensuite passée en paramètre du second appel de la fonction de hill climbing, avec qu'une autre fitness function plus précise ( $n = 1, 4$  ou  $5$ ) qui permettrait d'affiner la clé davantage pour obtenir un texte déchiffré le plus proche possible du texte clair.

Une fois le script créé nous avons lancé des batteries de test sur les différentes combinaisons de fitness. Nous avons essayé toutes les combinaisons  $(n, m)$  telles que  $n, m \in [[2, 5]]$  et  $n \leq m$ . Pour chacune de ces combinaisons, nous avons effectué 12 tests de sorte à obtenir des résultats moyens représentatifs.

Le tableau ci-dessous (voir Table 2.2) modélise l'ensemble des combinaisons que nous avons testées. Par exemple pour la combinaison  $(2, 3)$ , nous avons cherché le nombre d'itérations globales et statiques optimal pour les bi-gramme et tri-gramme. On applique la fonction de hill-climbing à fitness bi-gramme, on stocke les scores et la clé obtenue à la fin de ce déchiffrement, puis on applique une nouvelle fois la fonction de hill-climbing à fitness tri-gramme, avec comme clé de départ la clé obtenue en fin d'appel de bi-gramme. Généralement, combiner 2 fonction fitness avec le même  $n$ -gramme n'entraîne pas d'augmentation du score final. Une combinaison de la forme  $(n, n+k)$  avec  $k > 1$  permet parfois d'augmenter le score et le nombre de lettres trouvées, mais cela n'est pas fiable comme en témoigne la ligne associée à la combinaison  $(4, 5)$  du tableau, où le score régresse.

Nous tirons de cette analyse que, bien qu'elle soit intéressante, la démarche de combiner des fonctions fitness par des appels successifs de hill climbing n'est pas concluante. En effet, le brassage aléatoire de la clé à chaque appel de hill climbing est trop important, et faire un premier travail d'affinage en gros de la clé ne sert à rien puisque cette clé sera ensuite décomposée. Les quelques succès dont témoigne le tableau sont imputables à l'ordre d'appel des fitness functions. Par exemple lors du test de la combinaison  $(2, 5)$ , le hill climbing avec bi-gramme nous donne en moyenne 18,8 lettres correctes, et le hill climbing avec penta-gramme en donne 25,2 car il est plus précis.

Des lignes du tableau ci-dessous (voir TABLE 2.2) figurent en double pour illustrer le manque de fiabilité de la méthode des combinaisons.

Cependant nous avons remarqué qu'un appel à fitness Pearson sur un texte déchiffré au préalable est assez intéressant, puisque le  $r$  retourné est un indicateur supplémentaire de la qualité du déchiffrement. En particulier nous avons remarqué empiriquement que le  $r$  renseignait assez bien sur la lisibilité du texte obtenu (voir TABLE 2.3).

## 2.4 Conclusion

Au cours de ce projet nous avons pu faire le tour de certaines techniques de cryptanalyse applicables sur des chiffrements par substitution mono-alphabétique. En particulier nous nous sommes attardé sur l'analyse de fréquence au travers de l'algorithme en définitive très efficace de hill climbing. En pratique, face à ce genre de technique, les résultats obtenus et détaillés dans ce rapport nous invitent à distinguer les cas suivants :

- Si le texte est très court, moins de 200 caractères, la cryptanalyse par analyse de fréquence donne des résultats assez moyens. Il faudrait alors lui préférer une autre approche.

- Si le texte est court, entre 200 et 500 caractères, les meilleurs résultats ont été obtenus en faisant appel pour le hill climbing à la fitness function tri-gramme. Pour obtenir le meilleur rapport entre la pertinence du déchiffrement et le temps d'exécution, nous préconisons de fixer le nombre maximal d'itération locales à 1500, et le nombre maximal d'itérations globales à 3500. Cette opération devrait prendre moins de 4 secondes.

- Si le texte est long, plus de 1500 caractères, nous recommandons d'utiliser pour l'algorithme de hill climbing la fonction fitness tetra-gramme ou penta-gramme. Dans un soucis d'efficacité, en tenant compte de la qualité de la cryptanalyse et de sa rapidité, nous recommandons de fixer le nombre maximal d'itération locales à 2500, et le nombre maximal d'itérations globales à 6000. Si le texte ne dépasse pas les 2000 caractères, le temps d'exécution devrait être inférieur à 20 secondes.

- Si le texte chiffré a une longueur comprise entre les deux derniers cas énoncés, l'utilisateur peut aussi bien utiliser la fonction fitness avec  $n=3$  ou  $n=4$ . Les maximums devraient alors être de 2000 itérations locales et de 4500.

## Chapitre 3

### Annexe : tableaux de statistiques

#### 3.1 Statistiques pour un texte de 300 caractères

TABLE 3.1 – BI-GRAMME 300

Iterations Globales	Iterations Locales	Clé	Score	Temps
2000	750	22.25/26	39988.600	2.037
2500	1000	22.2/26	39992.033	2.417
2500	1250	22.9/26	40036.755	2.512
3000	2500	22.2/26	39999.609	3.082
3500	750	22.65/26	39979.500	2.364
3500	1000	22.6/26	39993.850	2.608
3500	1750	22.5/26	39996.806	3.392
3500	3000	23.1/26	40043.142	3.593
4000	1750	23.05/26	40029.701	3.460
4000	2250	22.3/26	39972.386	3.903
4000	2750	22.7/26	40008.763	4.056
4000	3000	22.6/26	39999.047	4.083
4000	3250	24.15/26	40112.429	4.099
4500	2750	23.05/26	40043.188	4.283
4500	3000	24.55/26	40118.422	4.504
4500	3500	24.05/26	40048.389	4.588
4500	4000	22.2/26	39947.538	4.609
5000	1750	22.0/26	39968.217	3.704
5000	3750	22.8/26	39975.115	5.058
5000	4000	22.9/26	39985.767	5.123
5500	750	24.2/26	40118.422	2.482
5500	1750	23.75/26	40116.268	3.528
5500	2000	24.45/26	40120.036	3.921
5500	2500	22.65/26	39993.034	4.698
5500	2750	23.15/26	40041.241	4.727
5500	3000	22.7/26	39972.830	5.027
5500	3250	23.15/26	40044.702	5.093
5500	3500	22.05/26	39972.692	5.132
6000	2250	23.15/26	40042.456	4.156
6000	3500	22.3/26	39968.496	5.415
6000	3750	22.8/26	40043.822	5.487
6000	4000	23.8/26	40080.056	5.786



TABLE 3.2 – TRI-GRAMME 300

Iterations Globales	Iterations Locales	Clé	Score	Temps
2500	1750	22.7/26	34245.244	2.681
2500	2000	22.2/26	34218.207	2.678
3000	1250	23.9/26	34498.324	3.004
3000	2750	22.8/26	34277.278	3.214
3500	1000	23.55/26	34420.275	2.709
3500	1250	23.5/26	34486.696	3.094
3500	2250	22.75/26	34274.977	3.664
3500	3250	22.8/26	34258.847	3.749
4000	1500	22.7/26	34255.901	3.344
4000	3500	22.05/26	34031.815	4.279
4500	2250	23.2/26	34312.671	4.113
4500	3250	22.45/26	34247.870	4.789
5000	1000	22.05/26	34097.879	2.858
5000	1500	22.4/26	34290.460	3.365
5000	3250	23.8/26	34499.712	5.128
5500	750	24.45/26	34649.691	2.395
5500	1250	22.75/26	34278.783	3.221
5500	1750	22.8/26	34213.551	3.865
5500	2000	22.55/26	34275.536	4.183
5500	2250	22.95/26	34261.244	4.421
5500	4000	23.6/26	34495.810	5.758
6000	1250	23.5/26	34489.919	3.252
6000	2250	22.4/26	34272.127	4.306

TABLE 3.3 – TETRA-GRAMME 300

Iterations Globales	Iterations Locales	Clé	Score	Temps
2000	750	22.5/26	28934.638	2.083
2000	1000	23.3/26	29284.407	2.203
2000	1250	22.45/26	29046.843	2.213
2500	1250	23.0/26	29202.284	2.698
2500	2250	21.7/26	28705.755	2.758
3000	1500	22.95/26	29332.017	3.174
3000	2500	21.55/26	28819.780	3.308
3000	2750	22.8/26	29234.546	3.315
3500	750	21.55/26	28672.206	2.589
3500	1250	23.05/26	29231.535	2.998
4000	3500	21.55/26	28799.692	4.404
4500	1000	21.8/26	28780.991	2.801
4500	1500	21.3/26	28764.088	3.330
5000	2000	23.85/26	29682.348	3.929
5000	2250	22.5/26	29192.210	4.323
5500	1750	23.85/26	29684.477	3.688
6000	3250	22.65/26	29257.430	5.403
6000	4000	22.1/26	28883.534	6.242

TABLE 3.4 – PENTA-GRAMME 300

Iterations Globales	Iterations Locales	Clé	Score	Temps
2500	2000	19.1/26	22210.145	2.965
3000	2000	19.35/26	22808.969	3.527
3000	2250	19.3/26	22838.095	3.507
3500	1500	19.5/26	22904.669	3.638
3500	2250	19.1/26	22801.731	4.035
4000	500	19.25/26	22784.414	2.054
4000	1500	19.45/26	22873.637	3.589
4000	1750	20.95/26	23605.558	4.080
4000	3250	19.2/26	22862.520	4.677
4500	1250	20.2/26	23460.553	3.448
4500	1500	19.0/26	22891.732	3.906
4500	2000	20.6/26	23627.060	4.337
4500	2250	19.35/26	22893.935	4.401
4500	2500	19.0/26	22927.946	4.571
4500	3250	19.45/26	22898.931	5.236
4500	3500	21.45/26	24243.010	5.262
5000	1000	20.15/26	23584.914	3.410
5000	1250	19.15/26	22857.979	3.308
5000	1500	20.05/26	23516.637	3.881
5000	2000	21.15/26	24287.161	4.509
5500	750	21.4/26	24055.284	2.857
6000	1250	20.0/26	23545.868	3.581
6000	1750	20.3/26	23379.277	3.963
6000	2250	19.45/26	22919.881	4.482
6000	3500	19.25/26	22858.833	5.909
6000	3750	19.0/26	22814.971	6.313

## 3.2 Statistiques pour un texte de 1500 caractères

TABLE 3.5 – BI-GRAMME 1500

Iteration GLOBALE	Iteration LOCAL	Cle	SCORE	TIME
3000	2250	24.65/26	133266.747	10.060
3500	1250	25.1/26	133300.840	9.828
3500	2000	25.9/26	133616.306	11.165
3500	3250	24.05/26	132928.374	11.732
4000	1250	24.2/26	133208.932	9.215
4000	2500	24.7/26	133167.713	12.979
4000	3750	24.05/26	133059.642	13.400
4500	1000	24.5/26	133120.530	8.422
4500	1500	24.6/26	133279.965	10.705
4500	1750	24.5/26	133048.501	11.836
4500	2500	24.35/26	133162.651	14.107
5000	2250	24.5/26	133103.568	13.293
5000	3000	26.0/26	133639.957	15.388
5000	3750	24.9/26	133355.754	16.541
5500	1750	24.6/26	133133.653	11.857
5500	2750	24.3/26	132975.793	15.081
5500	3000	25.5/26	133459.833	16.222
5500	4000	24.75/26	133220.516	18.126
6000	1000	24.75/26	133227.736	9.433
6000	1250	24.55/26	133180.663	10.377
6000	1500	25.4/26	133392.808	10.188
6000	1750	24.3/26	133159.829	11.636
6000	2500	25.65/26	133482.930	13.475
6000	3750	25.2/26	133324.888	18.083
6500	2500	24.35/26	133144.493	14.110
6500	3000	24.45/26	133068.335	16.312
6500	3500	24.15/26	132977.012	17.193
7000	1000	24.9/26	133283.122	8.722
7000	2750	24.15/26	133093.183	15.329
7000	3000	25.15/26	133302.686	16.248
7500	1000	24.05/26	133081.095	9.493
7500	1250	24.75/26	133166.217	9.594
7500	2000	24.2/26	133150.237	12.862
7500	2250	24.0/26	133051.330	12.655

TABLE 3.6 – TRI-GRAMME 1500

Iterations Globales	Iterations Locales	Clé	Score	Temps
2000	750	24.7/26	114374.509	6.855
2000	1000	24.7/26	114361.450	6.992
2000	1250	24.85/26	114776.080	7.016
2000	1750	24.0/26	113874.046	7.035
3000	2500	25.65/26	115274.071	10.528
3500	750	24.7/26	114824.535	7.532
3500	3000	24.9/26	114845.925	12.281
4000	1250	24.25/26	114336.447	9.384
4000	3000	24.85/26	114835.706	14.016
4000	3500	24.8/26	114895.254	14.016
4500	500	24.65/26	114261.730	8.018
4500	1000	24.8/26	114902.984	8.851
4500	2750	24.9/26	114883.472	14.558
4500	3000	24.25/26	114329.080	15.270
5000	750	25.25/26	114882.292	9.039
5000	1250	24.7/26	114726.016	10.027
5000	2250	24.9/26	114866.893	12.885
5000	4000	24.0/26	114171.043	17.534
5500	3000	25.45/26	115125.927	15.965
6000	750	24.3/26	114300.160	8.224
6000	3000	24.0/26	114099.985	16.967
6500	500	25.7/26	115547.727	6.747
6500	1500	24.8/26	114923.019	10.708
6500	2750	24.85/26	114923.441	15.275
6500	3750	24.75/26	114410.211	19.444
7000	1500	24.8/26	114904.337	10.579
7000	2250	24.8/26	114880.958	13.877
7000	2500	25.9/26	115607.459	14.349
7500	500	24.05/26	114320.316	6.711
7500	750	24.3/26	114262.740	8.379
7500	2000	24.65/26	114809.369	12.530
8000	750	24.55/26	114421.175	7.901
8000	1250	24.9/26	114859.097	10.076
8000	2750	26.0/26	115724.936	16.058

Iterations Globales	Iterations Locales	Clé	Score	Temps
8000	3000	24.8/26	114929.687	16.560
8000	3500	24.5/26	114351.949	17.710
8000	3750	26.0/26	115724.936	18.356
8500	1750	25.05/26	114909.573	11.438
8500	2750	25.4/26	115129.601	15.922
8500	3000	24.75/26	114873.000	16.385
9000	750	24.45/26	114350.001	7.471
9000	1250	24.6/26	114386.287	10.019
9000	1750	24.85/26	114924.414	11.936
9500	1000	24.85/26	114923.441	8.917
9500	3500	25.5/26	115144.665	17.931
9500	4000	24.9/26	114926.432	19.728
10000	500	25.9/26	115539.106	7.052
10000	1750	24.75/26	114638.554	12.600
10000	2000	24.9/26	114901.210	12.667
10000	2750	25.05/26	114948.405	15.896
10000	3500	24.8/26	114886.000	18.142

TABLE 3.7 – TETRA-GRAMME 1500

Iterations Globales	Iterations Locales	Clé	Score	Temps
2000	750	24.05/26	96430.937	6.870
2000	1750	23.2/26	95652.827	7.201
3500	500	23.25/26	95955.489	6.565
3500	750	24.3/26	97170.754	7.374
3500	1500	23.8/26	96853.294	10.663
3500	2000	23.65/26	95907.934	11.972
3500	2250	24.65/26	97953.650	12.395
4000	1000	23.45/26	96134.212	8.980
4000	1250	23.25/26	95467.288	9.822
4000	3000	23.65/26	96875.083	14.317
4000	3250	24.85/26	98445.002	14.349
4000	3500	23.85/26	95833.176	14.367
4500	1000	23.6/26	96807.215	9.330
4500	2250	23.95/26	96942.420	13.989
4500	2500	23.8/26	96890.629	14.440
5000	500	25.5/26	98408.296	6.757
5000	1500	24.95/26	98406.938	13.401
5000	2000	23.6/26	96902.603	12.948
5000	3500	26.0/26	99965.502	17.141
5000	3750	23.7/26	96815.774	17.561
5000	4000	26.0/26	99965.502	17.891
5500	1750	23.0/26	95660.905	13.259
5500	2750	23.8/26	96858.062	15.499
6000	1250	23.65/26	96822.269	10.558
6000	1500	23.9/26	97054.516	11.101
6000	2500	23.8/26	96931.351	15.155
6000	2750	24.8/26	98372.891	16.156
6000	3250	24.8/26	98449.887	16.885
7000	750	24.95/26	98223.349	9.035
7000	1000	24.8/26	98312.759	9.620
7000	2500	23.6/26	96817.806	15.253
7000	2750	23.7/26	96825.390	16.523
7000	3250	23.0/26	95552.853	17.691
7000	3750	23.75/26	96809.175	19.955



Iteration GLOBALE	Iteration LOCAL	Cle	SCORE	TIME
7500	1250	23.7/26	96743.753	9.367
7500	2000	23.9/26	96834.850	14.199
7500	2250	23.9/26	96856.811	13.524
7500	2500	23.7/26	96862.701	14.795
7500	2750	23.85/26	96938.281	16.322
7500	4000	23.85/26	96897.056	20.623
8000	2000	23.9/26	96868.920	12.376
8000	2250	24.9/26	98434.445	13.764
8000	2500	26.0/26	99965.502	15.143
8000	3500	23.6/26	96943.944	18.688
8000	3750	24.95/26	98421.758	19.375
8000	4000	23.8/26	96898.536	20.417
8500	500	23.2/26	95884.209	7.468
8500	1250	23.55/26	96818.229	9.603
8500	1500	23.55/26	95791.719	11.108
8500	1750	24.25/26	97130.058	12.293
9000	500	23.35/26	96275.730	6.855
9000	750	24.7/26	98121.565	8.061
9000	1250	24.85/26	98370.873	10.494
9000	2750	23.6/26	96892.203	15.355
9000	3000	23.3/26	95750.774	16.800
9000	3250	23.95/26	96838.814	16.649
9000	3750	23.6/26	96917.096	18.629
9000	4000	24.9/26	98396.636	19.389
10000	1000	23.95/26	96853.554	10.237
10000	1250	23.05/26	95683.559	10.631
10000	1500	23.15/26	95621.730	11.264
10000	1750	24.55/26	97263.092	12.579
10000	3500	23.85/26	96852.550	18.256

TABLE 3.8 – PENTA-GRAMME 1500

Iteration GLOBALE	Iteration LOCAL	Cle	SCORE	TIME
3000	1250	23.45/26	81105.214	10.574
3500	1250	23.6/26	81388.341	11.025
4000	3000	24.8/26	83660.521	15.682
4500	2500	24.6/26	82713.218	16.528
4500	3250	24.75/26	83648.834	17.131
5000	750	23.45/26	81251.824	8.817
5500	2750	23.8/26	81392.992	17.462
5500	3750	24.7/26	83623.298	20.430
6500	3500	24.8/26	83653.384	20.823
7000	750	23.75/26	80862.902	8.802
7500	2250	23.6/26	81300.276	16.444
7500	3750	23.7/26	81330.953	22.243
8000	2250	24.9/26	83645.426	15.623
8000	2750	23.9/26	81272.716	17.462
8500	750	23.35/26	80424.116	9.444
9500	1250	23.65/26	81332.174	11.854
9500	2000	23.6/26	81191.380	14.141
10000	3750	23.7/26	81283.441	22.304
10000	4000	25.0/26	83662.785	21.764

### 3.3 Tableau de résultats des tests de combinaisons de fitness

TABLE 3.9 – COMBINAISONS

combinaison	itérations globales	itérations statiques	moyenne lettres 1	moyenne lettres 2	moyenne score 1	moyenne score 2	Temps
(2,2)	1500	(750,500)	22.83/26	24.0/26	40115	40115	2.406
(2,3)	1500	(750,500)	20.3/26	25.1/26	40112	34685	2.688
(2,4)	1500	(1000,1000)	22.25/26	25.17/26	40121	30128	3.951
(2,5)	1000	(750,750)	18.8/26	25.2/26	40105	25941	2.603
(3,3)	1500	(1000,750)	23.8/26	25.2/26	34714	34714	3.134
(3,3)	1000	(1000,1000)	9.8/26	12.0/26	31963	31963	2.573
(3,4)	1500	(1250,750)	20.25/26	23.33/26	34355	29380	3.538
(3,5)	1500	(1250,750)	23.2/26	24.4/26	34714	34714	3.771
(4,4)	1500	(1000,1000)	23.8/26	24.8/26	30128	30128	3.507
(4,5)	3500	(1500,1500)	26.0/26	25.6/26	30128	26373	5.434
(4,5)	3500	(1500,1500)	26.0/26	25.6/26	30128	26373	5.434
(5,5)	2000	(1750,1750)	24.0/26	25.2/26	26373	26373	5.591
(5,5)	2000	(1500,1500)	15.8/26	15.2/26	20776	20776	5.520

### 3.4 Statistiques tri-gramme puis contrôle avec Pearson

TABLE 3.10 – Combinaison de TRI-GRAMME et Pearson

Iteration GLOBALE	Iteration LOCAL	Cle	SCORE	TIME	Person
2000	1000	18.8/26	33465.164	2.116	0.96868
2000	1250	19.85/26	33721.920	2.150	0.96868
2000	1500	22.75/26	34131.228	2.134	0.96868
2000	1750	21.6/26	33884.048	2.148	0.96868
2500	1000	22.45/26	34225.686	2.554	0.96868
2500	1250	21.5/26	34026.762	2.647	0.96868
2500	1500	20.2/26	33754.986	2.666	0.75072
2500	1750	21.55/26	34013.159	2.685	0.96868
2500	2000	19.6/26	33570.603	2.672	0.96868
2500	2250	21.75/26	34046.778	2.695	0.96868
3000	1000	18.05/26	33268.642	2.686	0.76986
3000	1250	15.85/26	32918.388	3.018	0.96868
3000	1500	19.3/26	33617.169	3.145	0.96868
3000	1750	16.65/26	32921.674	3.132	0.96868
3000	2000	19.6/26	33509.081	3.180	0.96868
3000	2250	20.2/26	33767.630	3.201	0.96590
3000	2500	20.65/26	33826.663	3.226	0.72097
3500	1000	19.2/26	33556.938	2.643	0.96868
3500	1250	21.3/26	34026.240	3.163	0.96868
3500	1500	20.85/26	33792.278	3.212	0.96868
3500	1750	17.45/26	33153.854	3.313	0.96868
3500	2000	21.45/26	34038.924	3.578	0.96868
3500	2250	22.65/26	34231.483	3.698	0.96868
3500	2500	19.9/26	33589.459	3.730	0.76696
4000	1000	20.6/26	33799.794	2.974	0.96868
4000	1250	21.45/26	34048.651	3.075	0.96868
4000	1500	18.4/26	33372.827	3.481	0.96868
4000	1750	18.15/26	33368.381	3.727	0.77374
4000	2000	22.25/26	34112.004	3.873	0.96868
4000	2250	20.1/26	33827.398	4.032	0.96868
4000	2500	21.15/26	34058.471	4.174	0.96868

# Bibliographie

- [1] Histoire de la cryptologie [https://fr.wikipedia.org/wiki/Histoire\\_de\\_la\\_cryptologie](https://fr.wikipedia.org/wiki/Histoire_de_la_cryptologie)
- [2] Chiffre de Vigenère [https://fr.wikipedia.org/wiki/Chiffre\\_de\\_Vigenère](https://fr.wikipedia.org/wiki/Chiffre_de_Vigenère)
- [3] Chiffrement par substitution mono-alphabétique <https://www.bibmath.net/crypto/index.php?action=affiche&quoi=substi/defsub>
- [4] Chiffrement de César [https://fr.wikipedia.org/wiki/Chiffrement\\_par\\_décalage](https://fr.wikipedia.org/wiki/Chiffrement_par_décalage)
- [5] Understanding Hill Climbing Algorithm <https://www.apprendre-en-ligne.net/crypto/bibliotheque/index3.html>
- [6] David KAHN, The Codebreakers : A Comprehensive History of Secret Communication from Ancient Times to the Internet, Revised and Updated, New York, Scribner, 1996
- [7] Calculate the Pearson Correlation Coefficient in Python <https://datagy.io/python-pearson-correlation/>
- [8] Stats for letters frequency <http://practicalcryptography.com/cryptanalysis/letter-frequencies-various-languages/>